

光弹性皮膜法による鋼部材の彈性境界の拡張に関する研究(その2)

名古屋大学 正員 川本壯万
 名古屋大学 正員 福本勝士
 ○名大大学院 学生員 宇佐美惣

1 謹言

前回において、光弹性皮膜法の紹介と、その簡単な応用例について述べた。今回はさらに不静定はりに応用した例を示す。なお、光弹性皮膜材料の配合比の変化によるその特性の変化を調べるために実験も行ったので、簡単に述べておく。

2 光弹性皮膜材料の特性実験

現在光弹性皮膜材料として最も多く用いられているものは、河田¹⁾が試作した epoxy-polysulfide 系共重合体(通称 epoxy-rubber)であろう。この共重合比はつきのようである。

epoxy prepolymer (Araldite D)	100	重量比
polysulfide (Tiocal)	X	
diethylene	8	

$\chi = 0 \sim 150$ の範囲で硬いガラス状からゴム状までの樹脂を作成することができる。通常弾性解析には $\chi = 0 \sim 30$ が用いられるようであるが、硬い樹脂は下地金属の剛性に影響を与える、軟い樹脂は光弹性感度が不足する恐れがある。それゆえ最も適切な配合比を決定するため、 $\chi = 10, 15, 20, 25$ の4つの配合の異なる皮膜を作成して、弾性係数、ボアソン比、光弹性感度を測定した。その結果を表1に示す。

表1 Epoxy-rubberの諸性質

χ	弾性係数 E_p (kg/mm^2)	ボアソン比 ν_p	光弹性感度 α (mm/kg)	ヒズミ感度 $\beta = \alpha E_p$ (1/mm)	主ヒズミ差感度 $K = \frac{\beta}{\nu_p}$ ($1/\text{mm}$)
25	94.2	0.45	1.06	100	68.9
20	143.	0.45	0.91	130	89.7
15	159.	0.45	1.06	169	117.
10	163.	0.45	1.05	121	119.

上の実験の結果、実験用いる皮膜材料としては、一応 $\chi=15$ のものとして、実際に皮膜を鋼材表面に接着して4点曲げ試験を行い主ひずみ差感度を検定した。得られた結果は $K = 114$ で表1の K とは多少異なるが、解析の際には、この K を用いた。

3 実験方法3.1 試験片

試験片の寸法は図1に示す通りであり、本数は6本である。材質はSS41であり、引張り試験片から得られた鋼材の諸性質は表2に示す通りである。

3.2 支持装置、載荷装置、および載荷位置

支持装置および載荷装置は図-2-3に示す通りである。試験片中央部に剛体部を取り付けたのは、中間支承の反力によってその附近の応力が乱されないためである。二のような構造および載荷状態は、一端固定、他端移動支承の一次不静定ばかりに单一集中荷重を載荷した場合と力学上同値にする。

載荷位置は図-2の記号を用いて

$$\bar{c} = 0.44, 0.577, 0.366$$

である。これらはそれぞれ図-1のS-1, S-2, S-3の試験片に対応する。

3.3 測定法および実験経過

試験片の一方側の片面全域にわたって光弾性膜を接着し、その裏面にヒヤミ測定のcheck用として、塑性ゲージを図-2に示す位置に接着した。

初期測定は荷重台の変位を 0.01mm タイマー・ゲージで測定することによりその代用とした。荷重装置はアムスラー型100t万能試験機、光弾性装置としては、理研製反射光弾性装置を用いた。

等色線の写真撮影およびヒヤミ、変位の測定は、弾性領域で4回、塑性領域で10回、それ以後はタイマーハゲージか 0.01mm 間隔のを目標として行った。

4. 理論計算

部材の塑性挙動を充実に追跡するため次のような塑性挙動を行った。

4.1 部材が塑性領域にあるときの節点回転角と端モーメントとの関係式

仮定 1) 単一部材は一様で断面は矩形とする。

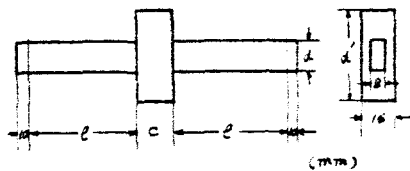
2) 内部せん断力の影響は無視されるものとする。

3) 部材の応力ヒヤミ曲線は完全塑性とする。

4) 断面における平面保持の仮定は満足されるものとする。

5) 荷重は単一部材の節点Kのみ作用するものとする。

今、両端 M_L, M_J による曲げモーメントを受ける部材が変形後、図-4に示す状態になるとすると、 θ_L, θ_J は M_L, M_J 、節点回転角 θ_L, θ_J および節点 i, j の変位 δ_L, δ_J は図に示された方向を正とする。仮定



試験片番号	l (mm)	C (mm)	d (mm)	d' (mm)
S-1-A	150	30.0	30.2	90.0
S-1-B	30.1	30.1	90.0	
S-2-A	150	30.1	30.0	90.1
S-2-B	30.1	30.0	90.1	
S-3-A	150	30.0	29.9	90.2
S-3-B	30.0	30.0	90.0	

図-1 試験片寸法

表2 鋼材の諸性質

試験片番号	降伏荷重	降伏ヒヤミ度	弹性係数	ホ・アンペル
番号	σ_y (kg/mm^2)	E_y (%)	E (kg/mm^2)	
No.1	23.8	0.130	2.01×10^4	0.28
No.2	23.9	0.127	2.01×10^4	0.28
No.3	23.8	0.128	2.01×10^4	0.28
mean	23.8	0.128	2.01×10^4	0.28

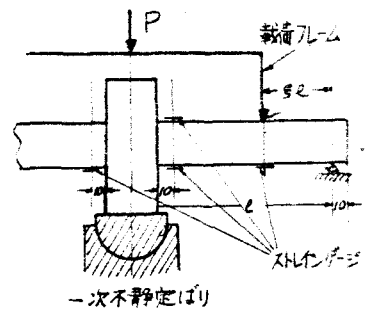


図-2 支持装置、載荷装置

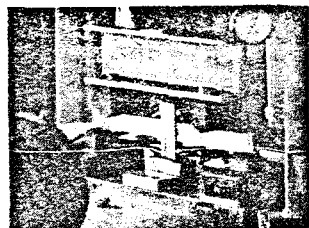


図-3

1)～4)によって、曲率 γ と曲げモーメント M の間に図-4

の記号を用いてつきの関係がある。

$$\left. \begin{array}{l} \text{左が弾性領域にあるとき, } \gamma_p = -y'' = M/EI \\ \text{左が塑性領域にあるとき, } \gamma_p = -y'' = \pm My/EI \sqrt{3+M/M_y} \end{array} \right\} \quad \text{---(1)}$$

(上界は $M > 0$ のとき, 下界は $M < 0$ のとき)

$= K M_y$ は降伏モーメントである。仮定5)により部材 $i-j$ には中間荷重がないから外力の釣り合ひより

$$M = (m_i - \frac{m_i - m_j}{l_j} x) M_y \quad \text{(2)}$$

$= K$ $m_i \equiv M_i/M_y$, $m_j \equiv M_j/M_y$ である。

部材 $i-j$ が塑性領域にあるときは式(2)を、式(1)の上式に代入して積分を行い、 $x=0$ で $y = \delta_L$, $x=l_j$ で $y = \bar{\delta}_j$ より積分定数を定め $\gamma_{x=0} = \theta_i$, $\gamma_{x=l_j} = \theta_j$ とおけば、周知の次式を得る。

$$\left. \begin{array}{l} \theta_i = \frac{My l_j}{EI} \left(\frac{2m_i + M_f}{6} \right) + \frac{\bar{\delta}_j - \delta_L}{l_j} \\ \theta_j = \frac{My l_j}{EI} \left(\frac{m_i + 2m_j}{6} \right) + \frac{\bar{\delta}_j - \delta_L}{l_j} \end{array} \right\} \quad \text{(3)}$$

部材 $i-j$ が塑性領域にあるときは式(2)を、式(1)の下式に代入して、上と同様の操作を行えば次式を得る。

$$\left. \begin{array}{l} \theta_L = \pm \frac{My l_j}{EI} \frac{m_i' + 2m_j'}{3/2(m_i' + m_j')^2} + \frac{\bar{\delta}_j - \delta_L}{l_j} \\ \theta_j = \mp \frac{My l_j}{EI} \frac{2m_i' + m_j'}{3/2(m_i' + m_j')^2} + \frac{\bar{\delta}_j - \delta_L}{l_j} \end{array} \right\} \quad \text{(4)}$$

(上界は $M > 0$ のとき, 下界は $M < 0$ のとき)

$= K M_i' = \sqrt{3-2|m_i|}$, $M_j' = \sqrt{3-2|m_j|}$ である。

4.2 一端固定、他端移動支承のはりの塑性解析

図-5に示すのはりについて解法の概略を示す。まず塑性解析により、最初に塑性域が生ずる位置を求める。この場合は $\gamma > 0.414$ ならば固定端、 $\gamma < 0.414$ ならば載荷端に塑性域

が生ずる。今、 $\gamma > 0.414$ とし、塑性域が生じた部材を $\overline{01}$ としよう。このとき未知量は、 m_0 , m_1 , δ_1 の3つであり、これらは①, ②, ③までの変形の連続性および①点でのせん断力の釣り合ひ式を建立して解くことにより求めることができる。ただし、①部分は式(4), ②および③部分は式(1)を用いる。このときの荷重 P は③点でのせん断力の釣り合ひ式により求めることができる。このようにして点②の曲げモーメントが降伏モーメントに達するまで①をえて計算を行い、点②が降伏モーメント以上になれば、さらに点③附近に塑性域を仮定して、その部分は式(4)を用いることによって同様の計算を繰り返せばよい。なお曲げモーメント m_1 および求めみ δ_1 を求めるための建立方程式は、式(4)に示すようく、 m_1 が根号内に含まれ解析的に解くことは不可能で trial and error を求める必要がある。これらの計算はすべて HITAC 5020 によった。

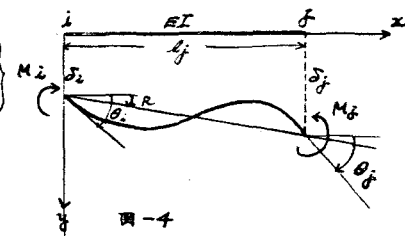


図-4

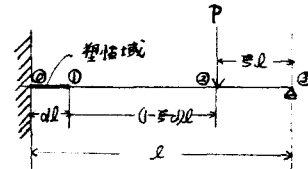


図-5

5 実験結果およびその考察

4で述べた計算の結果はこの報文には間に合わなかったので講演当日述べることとして、実験結果と単純塑性理論より得られた結果と比較して述べる。

荷重-たわみ曲線

図-6は実験の結果、得られた荷重-たわみ曲線の例を示す。

実験値は単純塑性理論より得られた値よりも相当大きい。これはたわみの測定を荷重台の変位で代用したため、載荷フレーム、支持装置の弾性変形、および載荷床の試験片へのくい込みなどが一因となり、測定誤差が大きめに生じた誤差であろうと思われる。

弾塑性境界の振れり

皮膜の接着後の厚さは大体 $2mm$ である。たので、弾塑性境界を示す繰り返し回数は表1および表2の結果を用いて $n=0.89$ 次となる。実験より得られた等色線の0.9次を示す線が弾塑性境界に相当するかの1例を示せば図-7のようになる。

崩壊荷重

はりの載荷床および固定端附近の全断面が塑性域に入るとその荷重を崩壊荷重として単純塑性理論による崩壊荷重と比較すれば表-3のようになる。実験より得られた崩壊荷重 P_{uct} は、常に理論値よりも大きく、図-6から分る通り、荷重が再び急激に上昇するとその値であることがわかる。

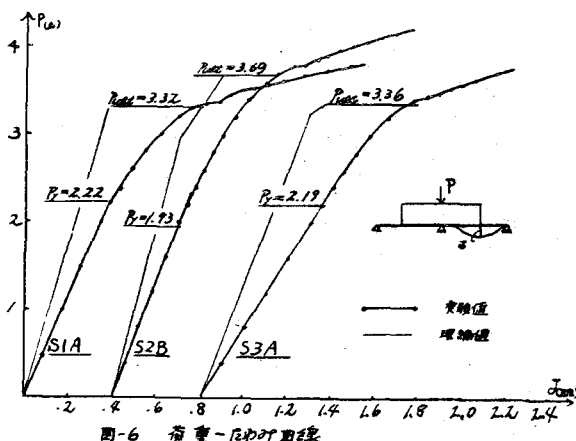


図-6 荷重-たわみ曲線

表3 崩壊荷重の比較

	理論値 P_{uct}	実験値 P_{uct}
S1A	3.32	3.39
S2A	3.69	3.73
S2B	"	3.81
S3A	3.36	3.64
S3B	"	3.67



S2B $P=3.7^*$

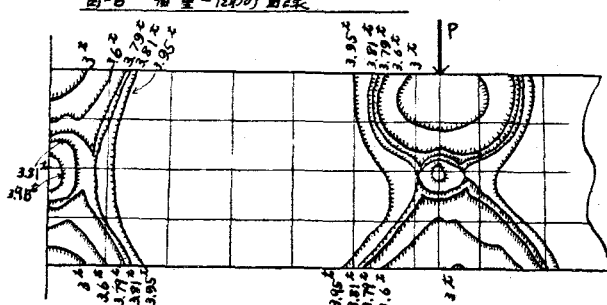


図-7
弾塑性境界
の振れりの例
S2-B

参考文献：1) 40年度中部支部講演会前刷 R.10

2) 河田, 鈴木: 実物光弹性解析用の光弹性皮膜について : 科研報告第33輯 昭和32年7月 P177